



# БИООРГАНИЧЕСКАЯ ХИМИЯ

том 6 \* № 2 \* 1980

## ПИСЬМА РЕДАКТОРУ

УДК 547.962.4.02 : 543.422.8

МЕЖДОМЕННАЯ ГИБКОСТЬ МОЛЕКУЛЫ ИММУНОГЛОБУЛИНА М  
ПО ДАННЫМ МАЛОУГЛОВОГО РЕНТГЕНОВСКОГО РАССЕЯНИЯ

*Хургин Ю. И., Шмакова Ф. В.*

*Институт органической химии им. Н. Д. Зелинского  
Академии наук СССР, Москва*

*Каюшина Р. Л., Дембо А. Т., Рольбин Ю. А.,  
Асадчиков В. Е.*

*Институт кристаллографии им. А. В. Шубникова  
Академии наук СССР, Москва*

*Дамашун Г., Дамашун Х., Плимич П.*

*Центральный институт молекулярной биологии  
Академии наук ГДР, Берлин*

Иммуноглобулины — весьма конформационно — лабильные белки, их структура в кристаллическом состоянии и в растворе может заметно различаться [1]. Недавно было показано, что при кратковременной инкубации иммуноглобулина M (IgM) в слабокислой среде ( $\text{pH} < 4,5$ ) наблюдается уменьшение поверхности макромолекулы белка, падает скорость ферментативного расщепления олигосахаридных групп и несколько увеличивается скорость ограниченного трипсиполиза [2—4]. На основании этих данных высказано предположение о необратимом конформационном переходе IgM в кислой среде [4].

В настоящей работе методом рентгеновского малоуглового рассеяния показано существенное изменение пространственной структуры IgM в кислой среде.

Препарат IgM<sub>sep</sub> был выделен из крови больного макроглобулициемией по методике работы [5] и для освобождения от агрегатов рехроматографирован на колонке с сефарозой 4B в 0,01 M трис-НCl-буфере ( $\text{pH } 8,4$ ) с 0,3 M NaCl (IgM<sup>I</sup>). Часть препарата IgM<sup>I</sup> инкубировалась при 20°С в 0,001 н. HCl (IgM<sup>II</sup>). Затем оба образца (IgM<sup>I</sup> и IgM<sup>II</sup>) дialisировали против 0,015 M  $(\text{NH}_4)_2\text{CO}_3$  ( $\text{pH } 8,6$ ). Концентрация растворов, определяемая спектрофотометрически ( $E_{1\text{cm}}^{1\%}(280) = 12,0$ ), составила для IgM<sup>I</sup> 9,6 мг/мл и для IgM<sup>II</sup> — 11,5 мг/мл. Для рентгеновских измерений растворы помещали в тонкостенные стеклянные капилляры диаметром 1 мм.

Измерение интенсивности малоуглового рентгеновского рассеяния  $j(s)$  ( $j(s)$  — разность экспериментальных нормированных интенсивностей рассеяния растворами IgM и растворителем) растворами IgM выполнено на дифрактометре типа Кратки с программным устройством, при 20°С, в интервале значений  $s = 0,112 - 2,0 \text{ nm}^{-1}$  ( $s = (4\pi/\lambda)\sin\theta$ , где  $2\theta$  — угол рассеяния,  $\lambda = 1,542 \text{ \AA}$  для использованного в работе  $\text{CuK}\alpha$ -излучения).

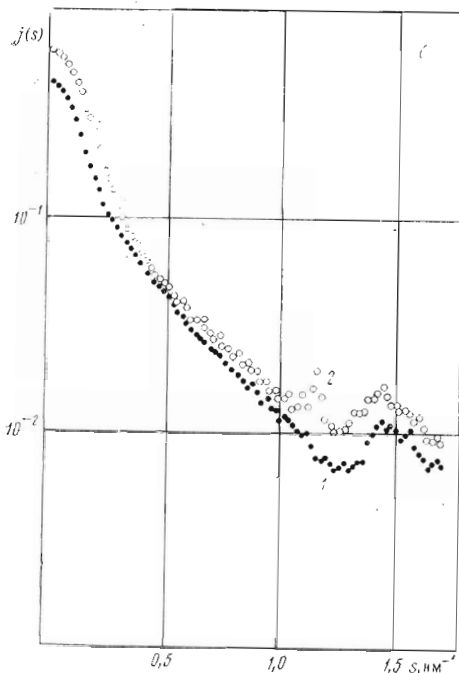


Рис. 1

Рис. 1. Угловая зависимость интенсивности рентгеновского рассеяния  $j(s)$  (до внесения коллимационной поправки) растворами  $\text{IgM}_{\text{Сер}}$  в карбонат-аммониевом буфере (0,015 М, pH 8,6) для  $\text{IgM}^{\text{I}}$  (1) и  $\text{IgM}^{\text{II}}$  (2)

Рис. 2. Зависимость интенсивности рассеяния в координатах  $\lg i(s)$ ,  $s^2$  (графики Гинье [8]) для  $\text{IgM}^{\text{I}}$  (1) и  $\text{IgM}^{\text{II}}$  (2)

Для каждого угла рассеяния (рис. 1) регистрировалось не менее  $3 \cdot 10^4$  импульсов. Сглаживание кривых рассеяния проводилось с помощью многочленов третьей степени методом наименьших квадратов [6] и методом частотного фильтрования [7]. Оба метода дали близкие результаты.

Максимальный размер частиц ( $L$ ) рассчитывался из соотношения [8]:

$$D(r) = (2r^2/\pi) \int_0^\infty i(s) s^2 (\sin sr/sr) ds,$$

где  $D(r)$  — функция распределения расстояний  $r$  внутри частицы ( $D(r)=0$  при  $r \geq L$ ), а  $i(s)$  — интенсивность рассеяния, исправленная с учетом коллимационных искажений [9, 10]. Величина  $L$  оказалась равной для  $\text{IgM}^{\text{I}}$  31,2 нм и для  $\text{IgM}^{\text{II}}$  24,0 нм. Радиусы инерции ( $R_g$ ) определены по методу Гинье [8] из величины углового коэффициента зависимостей  $\lg i(s)$  от  $s^2$  (рис. 2). Для  $\text{IgM}^{\text{I}}$  и  $\text{IgM}^{\text{II}}$  получены значения  $R_g^{\text{I}}=10,6$  нм и  $R_g^{\text{II}}=-8,9$  нм. Соответствующие значения радиусов инерции ( $R_g$ ), рассчитанные из уравнения

$$R_g^2 = \int_0^L D(r) r^2 dr / 2 \int_0^L D(r) dr$$

( $R_g^{\text{I}}=10,9$  нм и  $R_g^{\text{II}}=8,9$  нм), хорошо согласуются с данными, полученными по методу Гинье.

Близость кривых рассеяния и функций  $D(r)$  для  $\text{IgM}_{\text{Сер}}$  и  $\text{IgM}_{\text{Ео}}$  [11] показывает, что оба этих белка имеют, по-видимому, сходные струк-

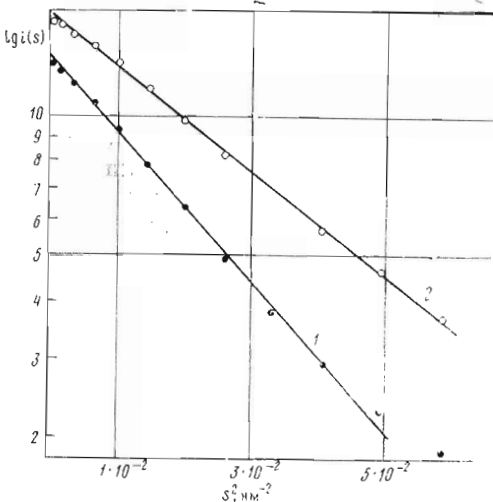


Рис. 2

туры. Ранее на основе данных малоуглового рассеяния для IgM<sub>E.O.</sub> предложена модель молекулы в виде плоской звездообразной структуры, состоящей из пяти IgG-подобных субъединиц [11]. После «кислого» перехода радиус молекулы (IgM<sup>II</sup>) уменьшается на 1,7 нм и максимальный размер — на 7,2 нм (обе величины уменьшились ~на 20%). Эта существенная разница в размерах отражает различия в структуре IgM<sup>I</sup> и IgM<sup>II</sup>, которые могут осуществляться лишь при очень большой междоменной гибкости молекулы IgM.

Полученные данные подтвердили высказанное ранее предположение о компактизации структуры IgM в кислой среде [4]. В первую очередь можно ожидать изменение ориентации Fab-фрагментов относительно внутренней части молекулы IgM-(Fc)<sub>5</sub>-фрагмента. Выход Fab-фрагментов из плоскости и изменение угла между ними может привести к частичной экранировке углеводных групп молекулы IgM, благодаря чему эти группы могут стать менее доступными для гликозидаз [2] и молекулы среди [4].

#### ЛИТЕРАТУРА

1. Kratky O., Pilz I. (1978) Quart. Rev. Biophys., 11, 39–70.
2. Каверзная Е. Д., Виха Г. В., Лапук В. А. (1975) Биоорган. химия, 1, 1379–1382.
3. Шмакова Ф. В., Виха Г. В., Каверзная Е. Д. (1977) Биоорган. химия, 3, 1205–1209.
4. Хургин Ю. И., Шерман Ф. Б., Тусупкалиев У., Лапук В. А., Шмакова Ф. В., Климова В. А., Каверзная Е. Д. (1975) Биоорган. химия, 1, 1140–1145.
5. Лапук В. А., Шмакова Ф. В., Каверзная Е. Д. (1975) Биоорган. химия, 1, 1134–1139.
6. Березин И. С., Жидков Н. П. (1959) Методы вычислений, т. I, Физматгиз, М.—Л.
7. Damaschun G., Müller J. J., Pürschel H. V. (1971) Acta cryst., A27, 11–18.
8. Guinier A., Fournet G. F. (1959) in: Small Angle Scattering of X-Rays (J. Wiley and Sons), N. Y.
9. Müller J. J., Damashun G., Walter E. (1977) Exp. Met. Molekulphysik, 1, 11–30.
10. Щедрин Б. М., Фейгин Л. А. (1966) Кристаллография, 11, 159–163.
11. Wilhelm P., Pilz I., Palm W., Bauer K. (1978) Eur. J. Biochem., 84, 457–463.

Поступило в редакцию  
15.VIII.1979

#### INTERDOMAIN FLEXIBILITY OF IMMUNOGLOBULIN M MOLECULE AS FOUND BY THE SMALL-ANGLE X-RAY SCATTERING

KHURGIN Yu. I., SHMAKOVA F. V., KAYUSHINA R. L., DEMBO A. T.,  
ROL'BIN Yu. A., ASADCHIKOV V. E., DAMASCHUN G., DAMASCHUN H., PLITZ P.

N. D. Zelinsky Institute of Organic Chemistry and A. V. Shubnikov  
Institute of Crystallography, Academy of Sciences of the USSR,  
Moscow; Central Institute of Molecular Biology, Academy  
of Sciences GDR, Berlin

The structure of immunoglobulin M (IgM) was studied by small-angle X-ray scattering method. The radius of gyration ( $R_g$ ) and maximal dimension of particles ( $L$ ) for IgM samples were measured at 20° in 0.015 M ammonium carbonate buffer, pH 8.6. The native IgM (IgM<sub>cep</sub>) is characterized by  $R_g$  10.6 nm and  $L$  31.2 nm, whereas IgM preincubated in 0.001 n. HCl has smaller molecule dimensions:  $R_g$  8.86 nm and  $L$  24.0 nm. This finding provides evidence in favor of the hypothesis on more compact structure of IgM in acidic media.